

管路における流砂の形態と機構

京都大学防災研究所 正員 芦田 和男
 京都大学防災研究所 正員 江頭 進治
 京都大学大学院 学生員 中島 有志

1.はじめに ダム堆砂による貯水池機能障害が社会的な問題となり、より、機能回復技術の進展が強く望まれている。その一つとして管路による土砂排除法がある。本研究は、その基礎を得るために着手したものである。流砂形態の発生領域ならびに各流砂形態における流量、エネルギー分配、流砂濃度について理論・実験の両面より検討したものである。

2.掻流 掻流は、管底部の静止砂礫層の上を土砂が掻流砂として移動する流砂形態である。流砂量を求めるためには砂礫層上面の摩擦速度 U_{fr} を推定しなければならない。そこで図-1に示すように流水断面を分割して流砂機構を考える。基礎式は次式のようになる。

$$\text{連続式} \quad A_U = A_b U_b + A_w U_w \quad (1)$$

$$\text{粗面の抵抗則} \quad U_b C_{fr} = A_r - \frac{1}{K} K \ln \frac{R_b}{R_s} \quad (2)$$

$$\text{滑面の抵抗則} \quad U_w C_{fr} = A_s - \frac{1}{K} K \ln \frac{U_{w0} R_s}{U_s} \quad (3)$$

$$U_{fr} = \sqrt{g R_s i_e} \quad (4) \quad U_{w0} = \sqrt{g R_s i_e} \quad (5)$$

$$\text{掻流砂量式} \quad Q_b = 17 S g d^3 T_b^{3/2} (1 - T_b / T_m) (1 - U_{w0} / U_b) \quad (6)$$

ここに A : 全流水断面積, A_b , A_w : 砂礫面及び管壁支配部分の断面積, U : 断面平均流速, U_b , U_w : A_b , A_w における平均流速, $R_b = A_b / S_b$, $R_w = A_w / S_w$, U_{w0} : 砂礫面管壁における摩擦速度, i_e : エネルギー分配, d : 粒径, S : 砂礫の水中比重, T_b : 砂礫の限界掻流力。ここで粗面分割のための近似として, $V = V_b = V_w \cdots (7)$ を用いる。以上より堆積厚を表すパラメータ τ , i_e , 体積濃度 C , 流量 Q のうち2つを与えれば他の2つが決定される。

3.集合流動 集合流動は管底部の砂礫層が一体となる流れである。この流れは条件によって plug flow と shear flow に分類される。plug flow は、砂礫層と管底部との境界で変形するが、内部の変形速度が無視できるような流れであり、shear flow は砂礫層内へ変形速度が著しい流れである。この場合、砂礫層の濃度は静止状態よりも減少する。これらの流れを解析するにあたり、流れの場を図-2のように簡略化し、芦田・江頭らの土石流の理論⁽¹⁾を適用する。また、輸送形態は、砂礫層に作用する力と内力の関係より、全層 plug flow (図-3) 局所的 plug flow (図-4), 全層 shear flow (図-5) に分類できる。芦田・江頭らによるとせん断力 T は

$$T = T_g + T_f \quad (8)$$

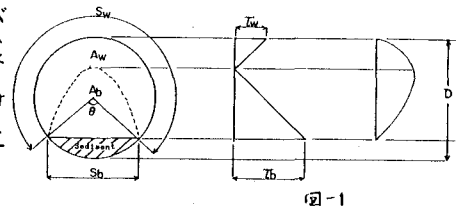


図-1

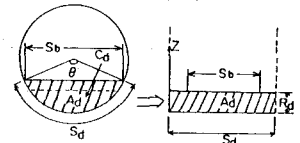


図-2

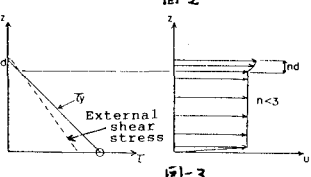


図-3

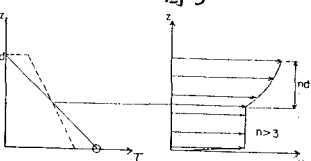


図-4

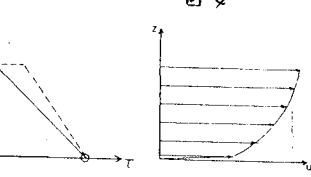


図-5

Kazuo ASHIDA, Shinji EGASHIRA, Tomohiko NAKAJIMA

と表せる。 T_f : 降伏せん断応力、 T_f は変形速度に依存する応力である。 T_f の分布および T_f は次式のように表せる。

$$T_f = (P_s - P) g C_d (R_d - Z) \mu_k \quad (9)$$

$$T_f = P_c^2 (du/dZ)^2 \quad (10)$$

ここに、 P_s, P : 砂礫及び水の密度、 $R_d = A_h/S_d$ 、 μ_k : 砂礫の内部摩擦係数、 l_e は粒子間隙隙におけるそれの混合距離である。外力としてのせん断力 T_f は次式のように表せる。

$$T_f = -\frac{d}{dz} (R_d - Z) + \frac{1}{8} f_b (U_w - U_d)^2 S_b / S_d$$

$$= P g l_e (R_d - Z) + \frac{1}{8} f_b (U_w - U_d)^2 S_b / S_d \quad (11)$$

U_w : 水流の平均流速、 U_d : 砂礫層の平均流速、簡単のために $U_w \gg U_d$ とし、 $T = T_f$ より shear flow の平均流速を求めると次式を得る。

$$\frac{U}{\sqrt{g R_d}} = \frac{2}{3} \frac{A}{l_e} \left\{ l_e \left(1 + \frac{A_h}{A_d} \right) - (\beta_p - 1) C_d \mu_k \right\}^{1/2} R_d \quad (12)$$

$$\cdot \left[\frac{2}{5} A \left\{ \left(\frac{A+1}{A} \right)^{5/2} - 1 \right\} - 1 \right] \quad (A = \frac{l_e (1 + A_h/A_d)}{(\beta_p - 1) C_d \mu_k - l_e})$$

plug flow の平均流速も同様にして求められる。以上より渦流と同じように l_e, Q, C の関係が求まる。

4. 発生領域 渦流が始まる限界は、砂礫の限界摩擦力を考えることにより次式で与えられる。

$$l_e = (\beta_p - 1) d T_{uc} / R_d$$

plug flow が始まる限界は、砂礫層に作用する力と内力の關係より次のようになります。

$$l_e = (\beta_p - 1) C_d U_{sb} / (1 + S_b R_d / S_d R_d) \quad (13) \quad U_{sb}: 砂礫と管壁の静止摩擦係数$$

plug flow から渦流への遷移は、上式の U_{sb} の代わりに μ_{sb} (砂礫と管壁の動摩擦係数)を用いることによって与えられ、shear flow の発生は、 U_{sb} の代わりに μ_s (砂礫層の静止摩擦係数)を用いて、shear flow \rightarrow plug flowへの遷移は μ_s の代わりに μ_k を用いることによって推定される。局所的 plug flow は $l_e \approx (\beta_p - 1) C_d \mu_s (1 + S_b R_d / S_d R_d) (M \approx 3)$ のとき発生する。このようにして推定された領域区分図を図-6に示す。区分図(1)(Q, C)平面上にも表すことができます。

5. 実験結果と考察 $d_m = 0.212\text{cm}$ 、比重 2.65 の一様砂を用いたアクリル製の開管路で実験を行った。実験結果と考察 $d_m = 0.212\text{cm}$ 、比重 2.65 の一様砂を用いたアクリル製の開管路で実験を行った。その結果を図-7, 8 に示す。ここでデータに付けられた数字は l_e の値である。Transition は、渦流と集合流動の遷移域である。図-7, 8 より実験結果(l_e, Q, C)はほぼ理論と同様の傾向を示していることがわかる。また、発生領域に関する理論もほぼ妥当なものといえよう。

5. おわりに 現段階では集合流動時の粒子体積濃度 C_d や水流が砂礫層によればせん断力が十分に把握されていない。今後、これに関する一層の研究が必要である。

参考文献) (1) 江藤・芦田・佐々木: 土石流の流動機構 第32回水理講演会, 1988

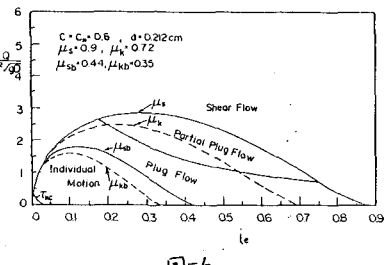


図-6

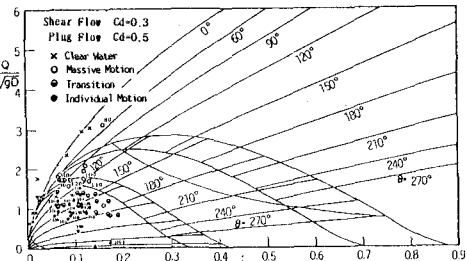


図-7

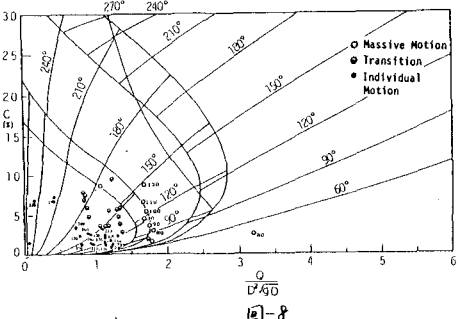


図-8